

## Report osservativo del 31/12/2021 sul Pollino

Si parte alla volta del Pollino, dopo una serie di attimi di esitazione dettati dalla particolare data.

Alla fine decidiamo di partire e passare l'ultimo dell'anno insieme sotto le stelle.

Anche se il Pollino è ormai un posto che frequento spesso, ricordo che lungo il viaggio mi sono messo a pensare che ogni volta le emozioni sono le stesse, come quelle delle prime uscite, sempre si ha quella sensazione che sarà una sessione osservativa speciale, non solo per il cielo che è il migliore che possiamo permetterci nelle zone limitrofe, ma anche per tutto ciò che è di contorno alla sessione osservativa che si stà per affrontare, la natura, le montagne, l'aria fresca e pulita, I paesaggi ed I bellissimi tramonti ed albe sempre offerti da quel posto che sento come casa. Mi sono goduto tutto il tragitto pensando a questo.

Arrivato sul posto c'erano già gli amici Walter e Fabrizio, mentre Giulio ci avrebbe raggiunto da lì a poco. A noi si è aggiunto anche Cristian, venuto lì consapevole che avrebbe trovato qualche altro pazzo a passare l'ultimo dell'anno lì ( parole sue ☺ ). Alla mezzanotte, abbiamo fatto una breve pausa per brindare assieme con un ottimo spumante gentilmente offerto da Walter.

Le condizioni meteo erano molto buone e con temperature decisamente sopra la media, circa 5-6 °C come minima.

Zero nuvole, umidità attorno al 60%, leggerissima brezza, trasparenza buona, seeing 3/5 su scala di Antoniadi, DeltaT specchio primario tra 6 e 2 °C ( cosa che mi ha causato qualche problema di messa a fuoco nella prima parte della nottata). Ciò che ha relativamente deluso è stato l'sqm che fino alle 02:00 si aggirava attorno ad un valore di 20.9, per poi migliorare fino ad un massimo di 21.19.

Dobson RPastro 400/1800 (+Paracorr che porta la focale del telescopio a 2070mm).

Oculari Explore Scientific 82° da:

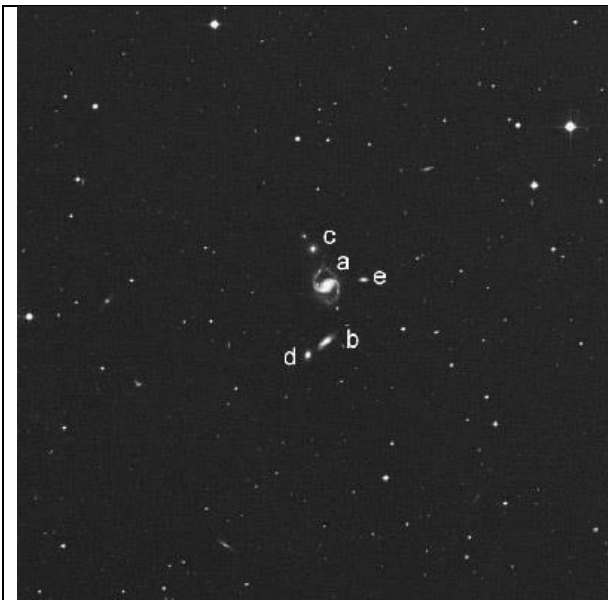
- 30mm 2" ( 69x; TFOV 1,18°; PU 5,8mm);
- 24mm 2" ( 86x; TFOV 0,95°; PU 4,6mm); •14mm 1,25" ( 148x; TFOV 33'; PU 2,7mm);
- 8,8mm 1,25" ( 235x; TFOV 21'; PU 1,7mm);
- 6,7mm 1,25" (309x; TFOV 16'; PU 1,3mm);
- 4,7mm 1,25" (440x; TFOV 11'; PU 0,9mm).

Filtro UHC Astronomik 2"; filtro OIII astronomik 2".

Inizio osservazione alle 18.40 circa.

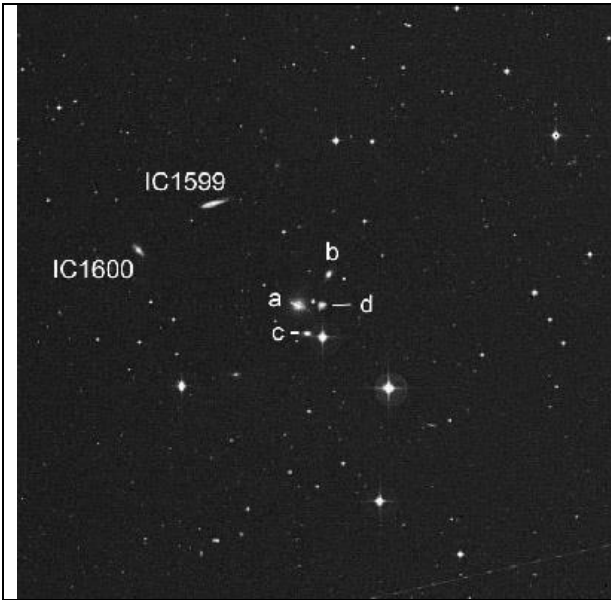


## Hickson 4, Cetus, Galaxy group



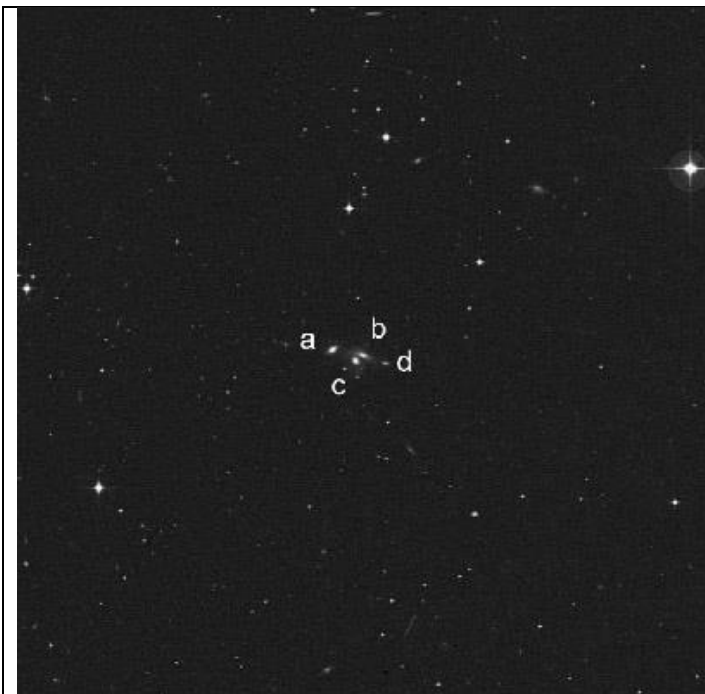
Visibile al meglio a 235x. La componente A ( Pgc 2047, mag 13,7) è evidente, tondeggiante, nucleo stellare. Appena più a Sud si intuisce un debole luore amorfo visibile con molta instabilità: componente B ( Pgc 2046, mag 15,6). Componenti C e D non viste.

## Hickson 9, Cetus, Galaxy group



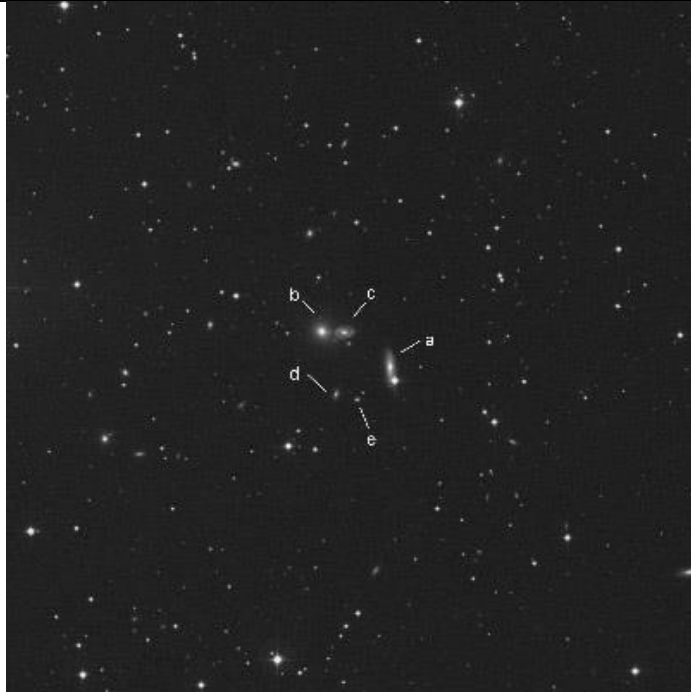
Gruppo difficile. Si rende visibile solo la componente A ( Pgc 3210, mag 15,2), appena ovalizzata, ad est di una stella, poco stabile in distolta. Altre componenti non viste.

## Hickson 6, Cetus, Galaxy group



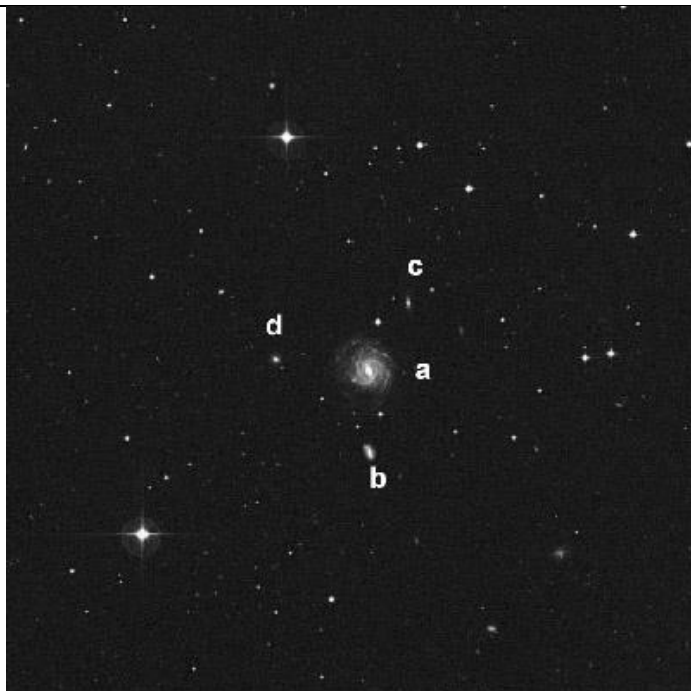
A 235x si percepisce il gruppo. Miglior visione a 309x. Si nota un debole bozzolo nebuloso di piccole dimensioni, tondeggiate, a NE di una stella. Si tratta della componente A ( Pgc 2353, mag15,7). Appena ad W della stella si nota una piccola macchia di luce, amorfa. Sono le componenti B( Pgc 2350, mag 16) e C ( Pgc 2351, mag 15,6) che non sono riuscito a separare neanche a 440x. Componente D non vista.

## Hickson 99, Pegasus, Galaxy group



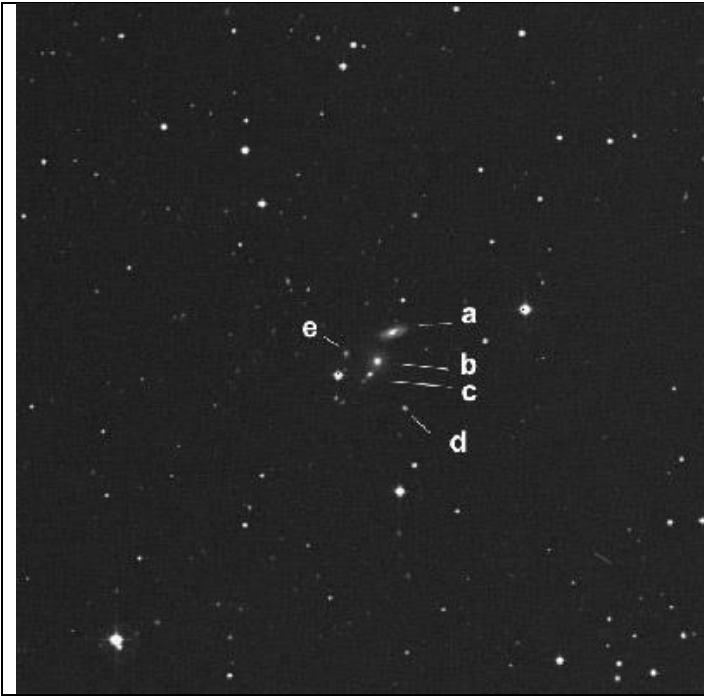
A 148x visibile debole luore. Migliori ingrandimenti 235x e 309x. Si osserva stabilmente la componente B ( Ugc 12899, mag 14,7), la più luminosa del gruppo, tondeggiate, con gradienti di luce tipici di una ellittica, bulge contrastato e nucleo stellare. A 309x si osserva al meglio anche la componente C ( Pgc 58, mag 15,7), appena ad W della B, tondeggiate, LS inferiore alla B. I due aloni galattici si lambiscono. Ancora più a W c'è una stella che già a bassi ingrandimenti sembrava mostrare un alone, non visto chiaramente fino ai 440x. Si tratta della componente A (Ugc 12897, mag 14,8). A nord della stella si nota come una sottile ed elongata ansa nebulosa che si estende per circa 1'. Nel mezzo di questa ansa sottile, c'è una condensazione quasi stellare che deve essere il bulge della galassia stessa. La parte di alone compresa tra bulge e stella è difficilmente percepibile, mentre la parte opposta sembra essere più luminosa. Dettaglio pazzesco. Componenti D ( Pgc 60, mag 17,2) e E ( Pgc 57, mag 17,7) non viste.

## Hickson 11, Cetus, Galaxy group



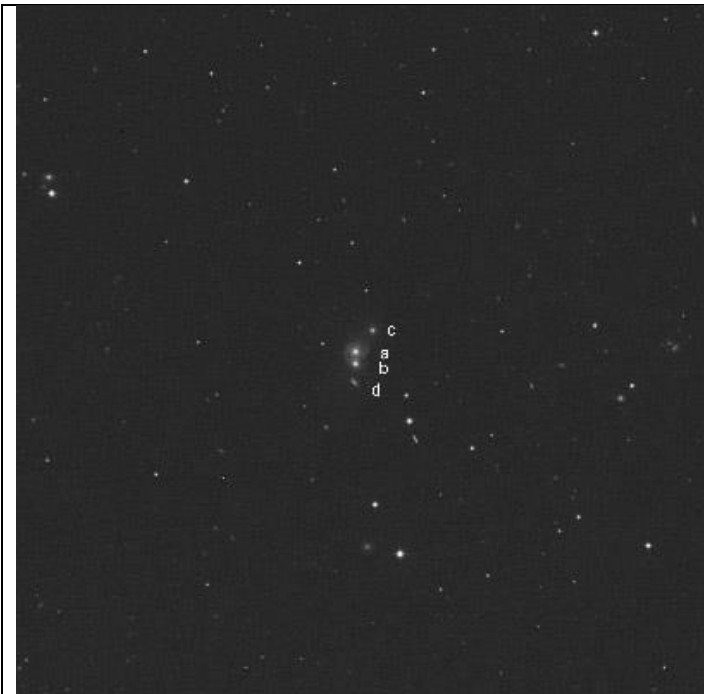
A 235x è ben visibile la componente A ( Pgc 5362, mag 12,7), compresa tra due stelle orientate NS, tondeggiate, perfettamente stabile in distolta. La seconda a saltar fuori è la componente B ( Pgc 5365, mag 15,8), posizionata appena al lato del prolungamento a Sud della congiungente delle due stelle. Si mostra di piccole dimensioni, elusiva, tondeggiate, LS omogenea, abbastanza stabile in distolta ma quasi al limite. La terza a saltar fuori è la componente D ( Pgc 5381, mag 16,8), vista con pochissima stabilità, elusiva, situata come a formare il vertice a Est di un triangolo isoscele che ha come base la congiungente delle due stelle. Componente C non vista.

## Hickson 13, Cetus, Galaxy group



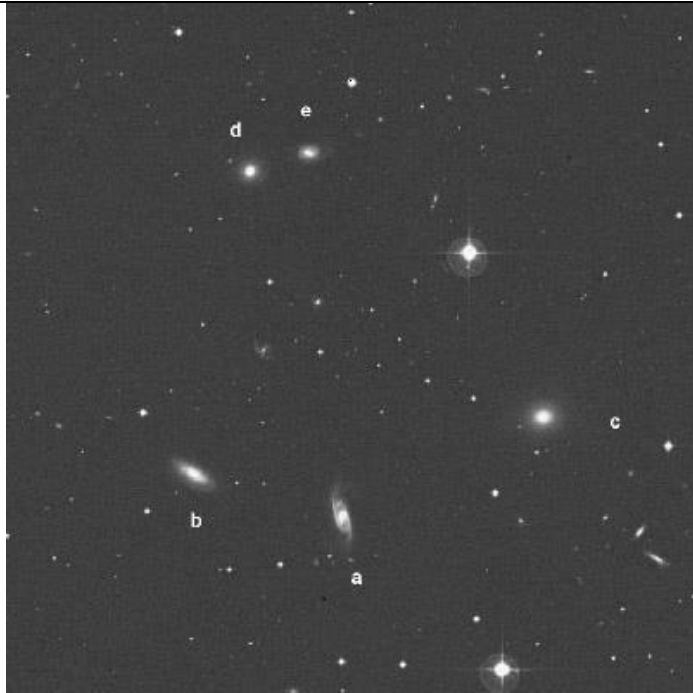
Si intuiscono già a 235x, meglio a 309x. Nel campo è presente un triangolo di stelle ben visibili che aiuta molto a capire dove guardare esattamente. La più luminosa è la componente B ( Pgc 5735, mag 15,6), piccola, tondeggiante, situata esattamente sul lato a Nord del triangolo di stelle. La seconda è la componente A ( Pgc 5732, mag 15,5), appena più a Nord della B, poco stabile in distolta ma quando è mantenuta per qualche secondo mostra chiaramente la sua elongazione WE. La componente C ( Pgc 5736, mag 16,6) al limite della visibilità, vista a intermittenza poche volte. Orientamento incerto, comunque alone che lambisce/si fonda con quello della B. Altre componenti non viste.

## Hickson 5, Pisces, Galaxy group



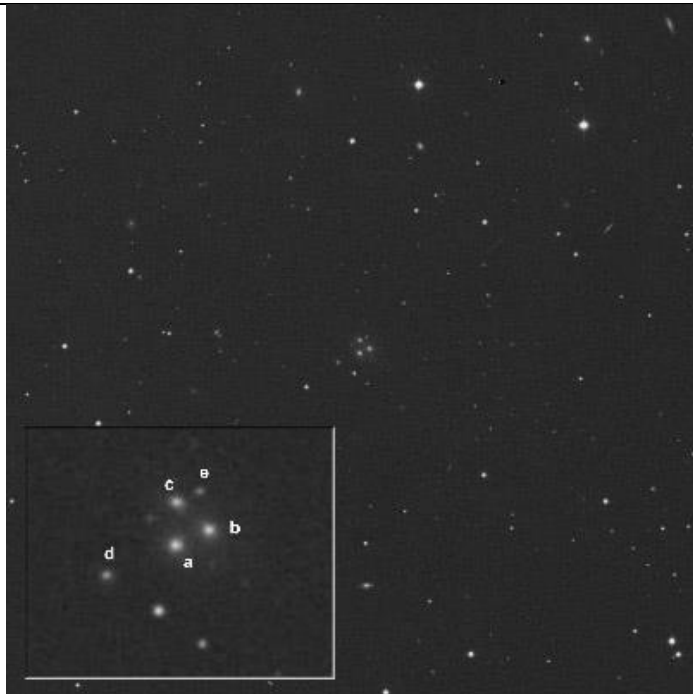
Luore percettibile a 235x stabilmente in distolta. Solo a 309x si cominciano a risolvere meglio le galassie ma con molta difficoltà. La prima a saltar fuori è la A ( Ngc 190, mag 14,9), tondeggiante e di piccole dimensioni. La seconda è la B ( Ngc 190A, mag 15,7), sembra mostrare una ovalizzazione WE, molto piccola. A 440x diventano troppo deboli. Altre componenti non viste. Gruppo difficile e molto compatto, con galassie di piccole dimensioni.

## Hickson 21, Eridanus, Galaxy group



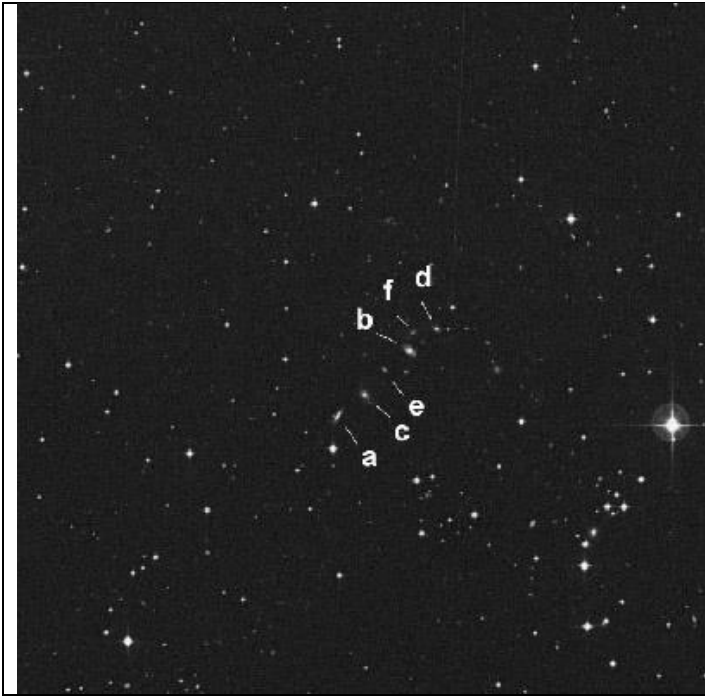
Bel gruppo, viste tutte le componenti, già intuibili a 148x. La più luminosa sembra essere la C ( Ngc 1098, mag 12,68), tondeggiante, gradienti di luce uniformi dal bordo al centro, nucleo stellare. La seconda è la A ( Ngc 1099, mag 13,23), elongazione palese in direzione NS, rapporto assi circa 1:3, alone sfumato e bulge luminoso. La terza è la B ( Ngc 1100, mag 13,1), elongazione NE-SW, dimensioni paragonabili alla A. Le prime 3 componenti hanno luminosità superficiali quasi della stessa misura. Le ultime due componenti, più a Nord, sono entrambe ben visibili a 235x e 309x. Di questa coppia, la componente D ( Ngc 1092, mag 14,5) mostra maggiore LS, forma rotonda, nucleo luminoso, diametro di circa 1-2'. Appena ad Ovest c'è la componente E ( Ngc 1091, mag 15,2), la meno luminosa del gruppo. Leggerissimo gradiente di luce dal bordo al centro, tonda. Bellissimo gruppo.

## Hickson 17, Aries, Galaxy group



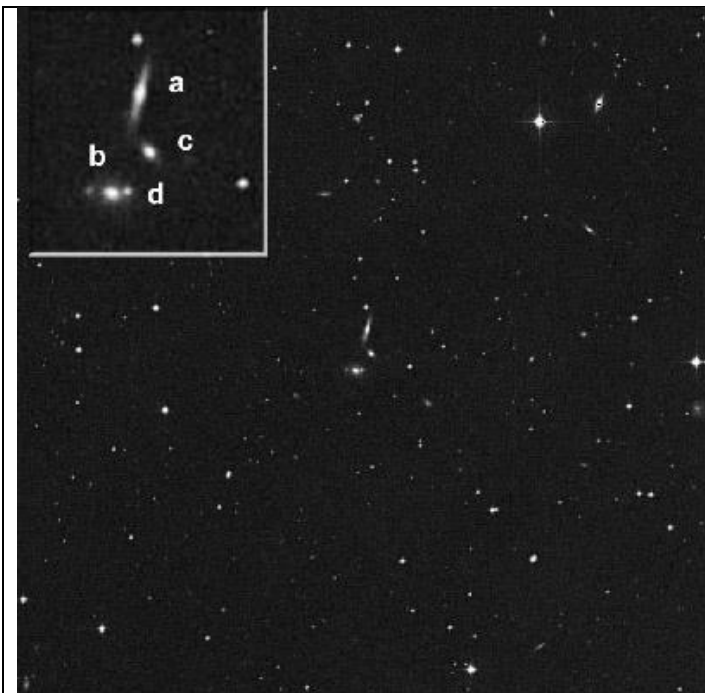
Gruppo molto difficile. Solo a 235x si percepisce con poca stabilità un debolissimo luore amorfo, in un campo stellare povero e privo di molti riferimenti. Questo luore si osserva a intermittenza e solo per pochi attimi e con molta instabilità, senza lasciare il tempo di provare a discernere le varie componenti.

## Hickson 27, Eridanus, Galaxy group



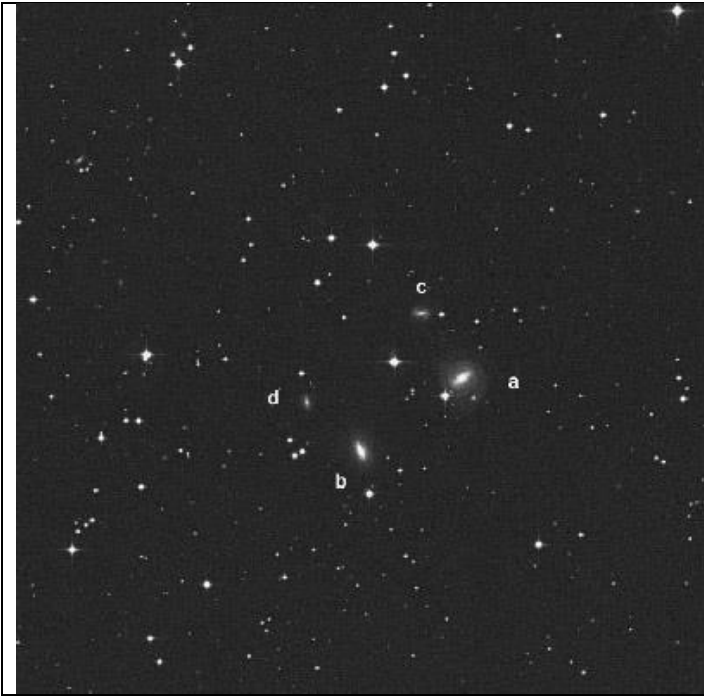
Provato a vari ingrandimenti e per molto tempo.  
Nessuna traccia delle galassie. Assolutamente non visto.

## Hickson 28, Eridanus, Galaxy group



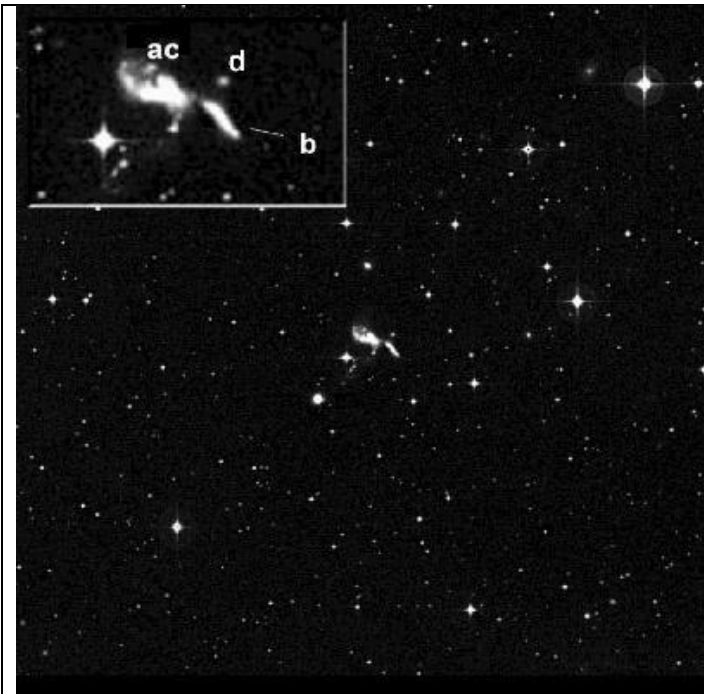
Assolutamente non visto. Provato a vari ingrandimenti.

## Hickson 30, Eridanus, Galaxy group



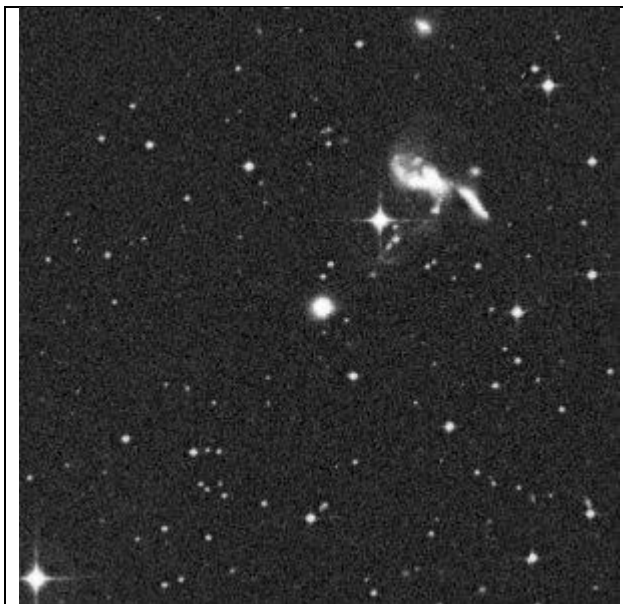
Gruppo visibile a 235x e 309x. La più luminosa è la B ( Pgc 15631, mag 14,2), elongata SW-NE, tozza, bulge piccolo e luminoso, alone sfumato. La seconda è la A ( Pgc 15620, mag 13,6), facile in distolta, elongata NW-SE, nucleo stellare, alone sfumato. C e D non viste.

## Hickson 31, Eridanus, Galaxy group



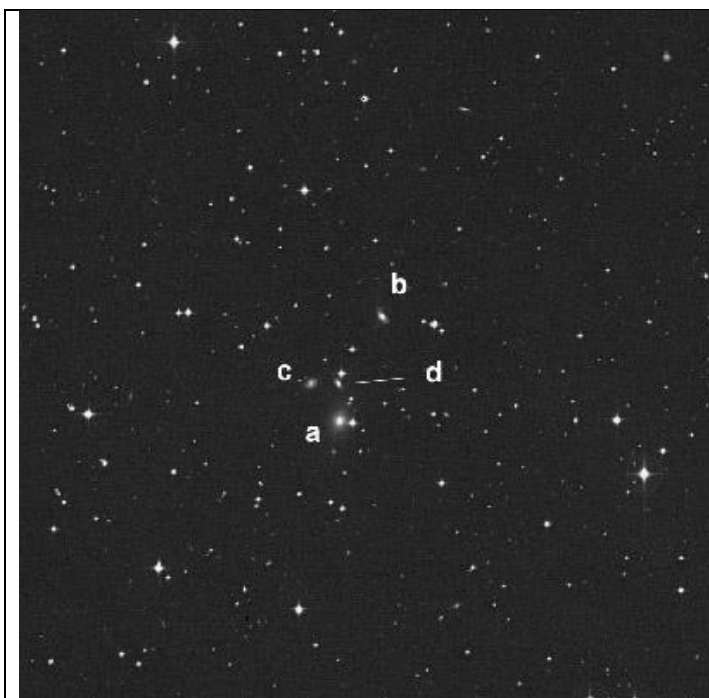
Gruppo molto piccolo e compatto. Non sono riuscito a risolvere le singole componenti, appare come una macchia nebulosa amorfa. Mi è sembrato di percepire dei punti luce sovrapposti a questa macchia e non sono riuscito a capire se si tratta dei nuclei galattici o di stelle sovrapposte alle galassie, poichè visti instabilmente. La macchia nebulosa è piccola, circa 1' o meno.

## IC 399, Eridanus, Gx, Mag 15,48



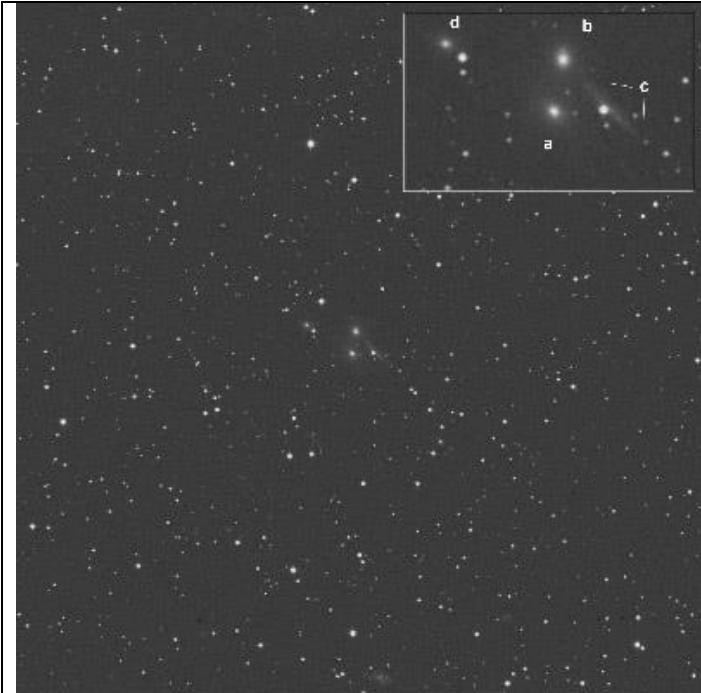
Stesso campo di Hcg 31. Alone circolare e sfumato, circa 1' di diametro. Bassa LS ma uniforme.

## Hickson 32, Lepus, Galaxy group



Viste solo 2 componenti. Miglior visione a 235x. La più luminosa è la A ( Pgc 16583, mag 14,4), ovalizzata SE-NW, appena ad Est di una stella stabile in distolta. La seconda è la B ( Pgc 16578, mag 15,9), ovalizzata, appena visibile in maniera non stabile. Altre 2 componenti non viste.

## Hickson 33, Taurus, Galaxy group



Difficile, viste solo 2 componenti. Si percepisce qualcosa a 235x. La prima a saltare fuori è la componente A ( Pgc 16867, mag 16), più stabile in distolta a 309x dopo aver fatto abituare l'occhio, pur rimanendo al limite. Elongata, zona centrale più luminosa ed elongata WE. A 309x salta fuori anche la B ( Pgc 16866, mag 16,2), molto debole, elusiva, LS omogenea, tondeggiante, a circa 2-3' dalla A. Nessuna traccia delle altre componenti.

## Hickson 34, Orion, Galaxy group



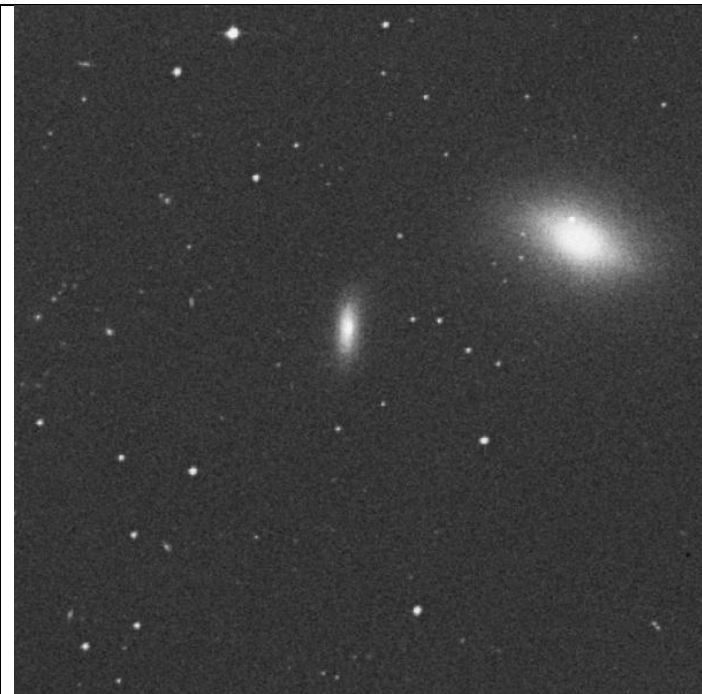
Gruppo difficile. Le galassie dovrebbero trovarsi lungo la congiungente tra 2 stelle orientate SE-NW. A 235x solo la componente A ( Ngc 1875, mag 14,6) si rende visibile, luminosa, stabile in distolta e percettibile anche in visione diretta, nucleo stellare, ovalizzata NS. A 309x e 440x si percepisce con incertezza una seconda componente B ( Pgc 17176, mag 17,6), a circa 1/3 della distanza tra le due stelle. Apparsa solo poche volte con molta incertezza, amorfa, instabile.

**Ngc 584, Cetus, Gx, Mag 10,36, LS 20,39**



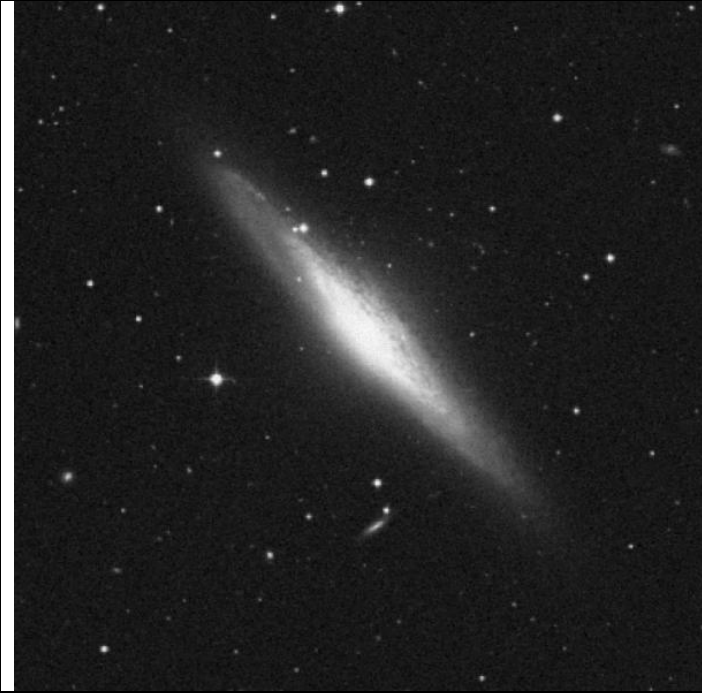
Molto luminosa, visibile già a 235x, elongata WSW-ENE. A 309x si osserva un nucleo stellare, bulge sfumato, alone omogeneo. L'alone sembra mostrare dei chiaro scuri, specie uno a NE.

**Ngc 586, Cetus, Gx, Mag 14,08**



Nello stesso campo di Ngc 584. Elongata NS, rapporto assi circa 1:3. Alone debole e sfumato ma ben visibile.

**Ngc 2683, Lynx, Gx, Mag 9,05 , LS 21,29**



Molto bella, elongata NE-SW, circa 12x3', inclinazione di circa 70-80°, alone esteso e sfumato. Bulge ovale. Il bordo dell'alone presenta delle increspature di luce da Nord a ESE, di cui una più marcata a Est, lasciando intuire delle bande di polveri che corrono lungo il bordo più orientale. Bella a 148x e 235x, miglior visione a 309x.

**Ngc 1961, Camelopardalis, Gx, Mag 10,92 , LS 22,59**



Luminosa. Ben visibile a 235x, compresa tra alcune stelle luminose. Aspetto granuloso che lascia intuire varie piccole lacune di luce. A 309x miglior visione: alone di circa 5', bulge piccolo, ovale e luminoso. Sembra esserci una lacuna di luce più marcata tra bulge e bordo dell'alone a SSE. Bella.

## Ngc 2185, Monoceros, RN, 12,9



A 69x e in luce bianca la nebulosa è palese, si osserva molta nebulosità diffusa ed in particolare una luminosa condensazione nella parte più a NE della nebulosa, di circa 3-4'. Con filtro UHC a 69x la nebulosa scompare del tutto, indicando che si tratta totalmente ( o quasi) di una nebulosa a riflessione.

Ngc 2238, Monoceros, EN, Mag 4,8



Difficile da descrivere. A 69x +UHC è enorme, non contenuta per intero nel campo del 30mm 82°, contrastata. Molte stelle sovrapposte all'ammasso. La nebulosa ha una forma a disco, con un vuoto centrale che contiene molta meno nebulosità. Il bordo esterno è sfrastagliato, irregolare, numerosi chiaro scuri, sfumature e nervature. In particolare si osserva una grossa zona più scura a Est e molte piccole nervature a Ovest. Incredibile e difficile descrivere ogni particolare visibile.

## Ngc 2264, Monoceros, EN + OC, Mag 3,09



L'ammasso dell'albero di Natale è evidente e facilmente osservabile, composto da stelle luminose. A 69x +UHC si osserva molta nebulosità diffusa che si estende oltre il campo dell'oculare, specie nei dintorni della stella più luminosa del campo ( 15 Monoceros), così come è visibile una grossa lacuna di luce prossima alla stella. Alla punta dell'albero di Natale sono appena percettibili ed in maniera non stabile sia una piccola porzione della Cone Nebula ( punta) che altre varie piccole zone scure, visibili nella delicata e debole nebulosità diffusa.

## Ngc 2903, Leo, Gx, Mag 8,79 , LS 21,29



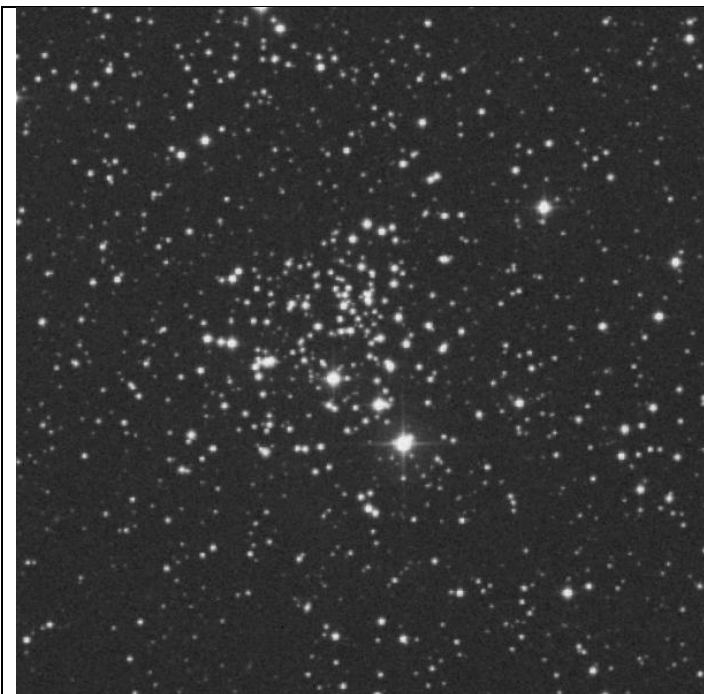
Incredibilmente bella. Elongata NS, bulge luminoso e nucleo stellare, rapporto assi circa 1:3. A 235x si intuiscono molti chiaro scuri ed una condensazione sul bordo Nord dell'alone, in quello che sembra un cortissimo braccio di spirale che ruota in senso orario, curvandosi di circa 70°. A 309x questo dettaglio è ancora più evidente. Si palesano molti più dettagli, come una banda scura che da Sud scende fino a Est, curvandosi attorno al centro della galassia. Molte sfumature e increspature di luce, di cui alcune molto meno stabili in distolta.

## Ngc 2204, Canis Major, OC, Mag 8,6



Ammasso compatto, contenente poche stelle, tutte deboli e di magnitudine simile. Le stelle sembrano essere organizzate in due linee ondulate, come se fossero due fili che tendono ad avvicinarsi asintoticamente verso Sud. Particolare.

## Ngc 2266, Gemini, OC, Mag 9,5



Piccolo, compatto, abbastanza ricco di stelle. Forma triangolare, il cui vertice a SW è costituito da una stella luminosa. Tutte le stelle sono comunque luminose e ben osservabili. Aspetto granuloso. Bello e particolare.

## **Ngc 2354, Canis Major, OC, Mag 6,5**



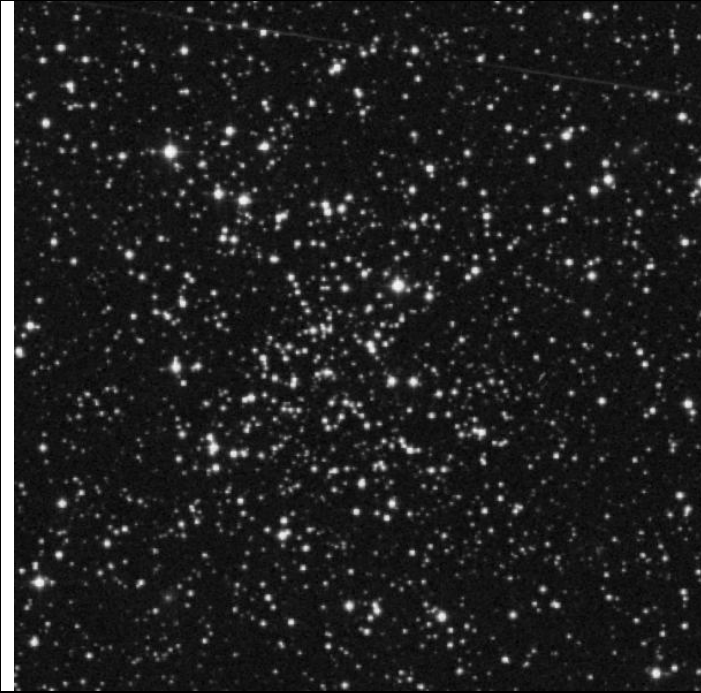
Esteso, circa 15,20', ricco di stelle. Anche questo presenta una sagoma vagamente triangolare. L'area del triangolo è più densa di stelle in corrispondenza degli angoli a W e E. Mentre ci si sposta verso l'angolo a Nord, la quantità di stelle diminuisce rapidamente, lasciando una piccola area elongata NS quasi vuota di stelle.

## **Ngc 2362, Canis Major, OC, Mag 3,79**



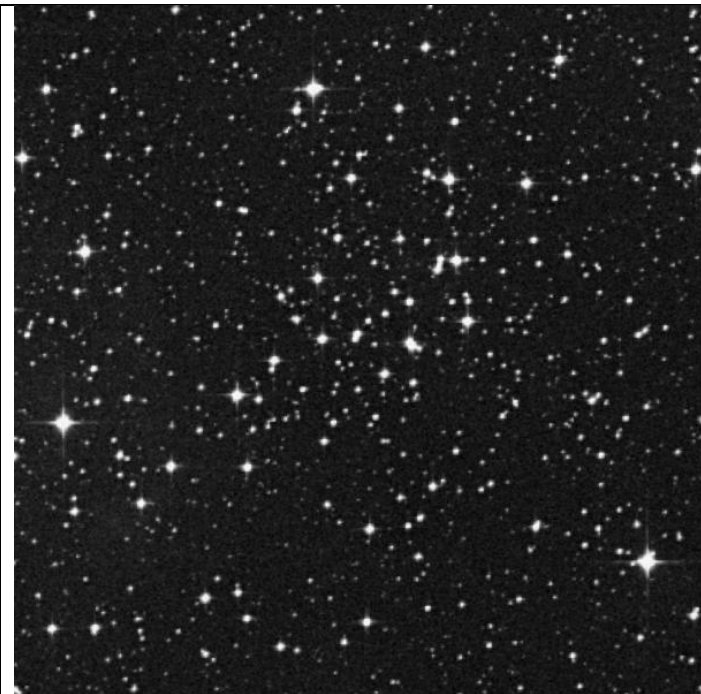
Bellissimo. Si presenta di piccole dimensioni e molto compatto, contenente poche stelle ma luminose e di colore blu e bianche, tra cui una stella centrale all'ammasso che è la più luminosa dello stesso. La sagoma dell'ammasso sembra ricordare un pò quella di un albero di Natale.

## Ngc 2324, Monoceros, OC, Mag 8,39



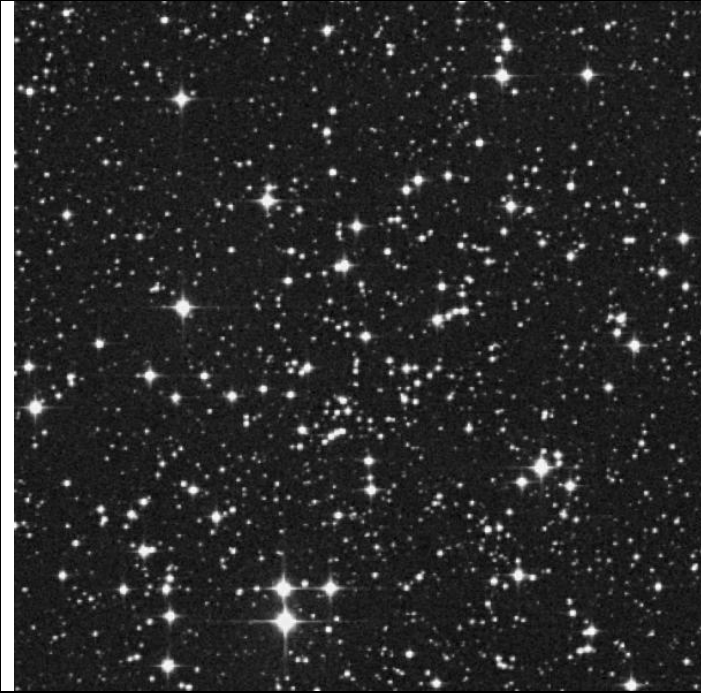
Compatto, circa 5' di diametro, stelle abbastanza luminose, aspetto granuloso. A 148x si osservano vari chiaro scuri interni. La forma dell'ammasso nel suo complesso è circolare ma presenta una serie di strutture che in qualche modo mi ha ricordato la sagoma di una girandola a 4 pale. L'ammasso è particolare ed un pò nascosto nel ricco campo stellare.

## Ngc 2311, Monoceros, OC, Mag 9,6



Piccolo, circa 4', povero di stelle, aspetto luminescente, si sviluppa in senso NW-SE. Ricorda la sagoma di un fischietto. Sinceramente non lo trovo particolarmente bello. Un pò nascosto nel ricco campo stellare.

## Ngc 2286, Monoceros, OC, Mag 7,5



Carino, circa 15', non molto ricco di stelle ma presenta un aspetto luminescente e con vari chiaro scuri interni, immerso in un campo stellare estremamente ricco.

## Ngc 2301, Monoceros, OC, Mag 6



Bello e luminoso, circa 15'. Al centro dell'ammasso si distinguono 3 stelle più luminose di tutte le altre, due blu ed una giallina. Le stelle sono disposte come a formare una sagoma simile alla costellazione dell'aquila, che vola verso Ovest. Compatto, ricco di stelle luminose. Bello.

## **Ngc 2395, Gemini, OC, Mag 8**



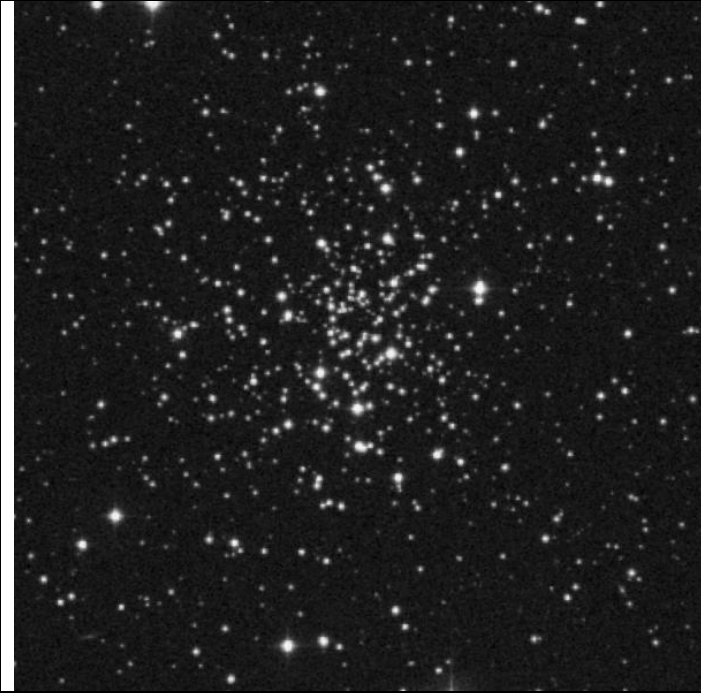
Povero di stelle, circa 15'x5'. Forma triangolare. Il campo stellare è estremamente ricco ma l'ammasso si distingue con facilità, data la sua luminosità. Non particolarmente bello.

## **Ngc 2355, Gemini, OC, Mag 9,69**



Piccolo, compatto, circa 5'. Abbastanza ricco di stelle organizzate in una struttura amorfa, ben distinguibile nel campo stellare. Carino.

## Ngc 2420, Gemini, OC, Mag 8,3



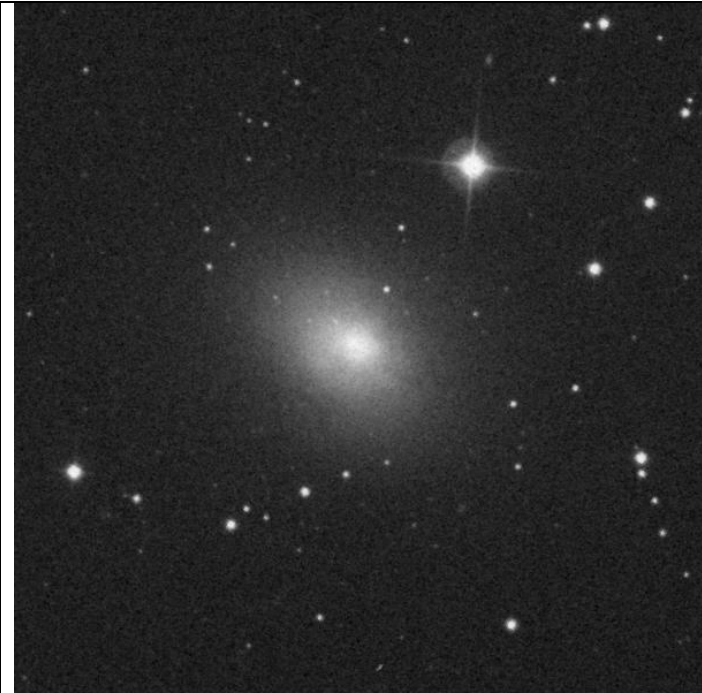
Bello , ricco e luminoso, circa 7'. Ricorda la sagoma della lampada di Aladino orienta NS. Struttura sinuosa e ondulata. Stelle blu e bianche.

## Ngc 2419, Lynx, GC, Mag 10,4 – Intergalactic Wanderer



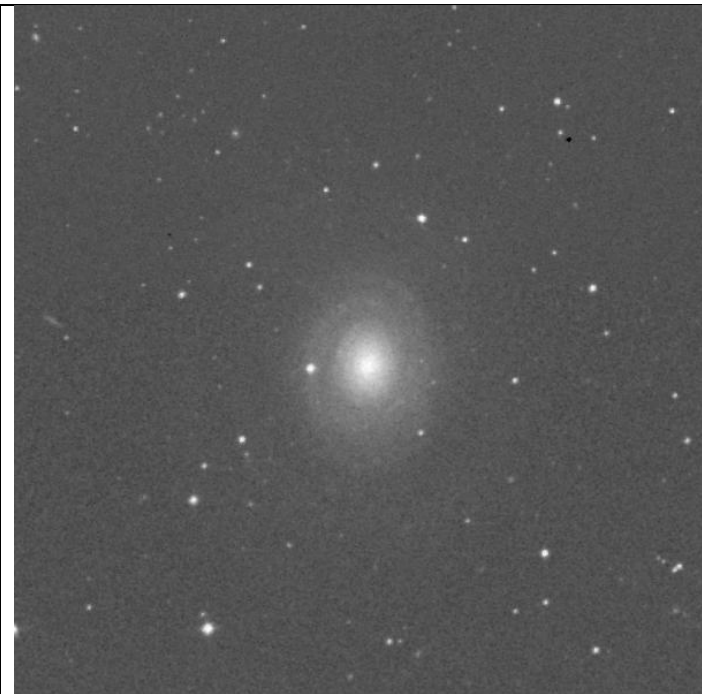
Luminoso e palese a 235x, meglio a 309x. Non si risolve neanche una stella. Si presenta con un alone esteso, circa 3-4', che racchiude una zona centrale ben contrastata e luminosa di circa 1-2'. Visimanete sembra quasi una galassia ellittica. Affascinante per il fatto di essere il più lontano ammasso globulare della nostra galassia

## Ngc 3077, Ursa Major, Gx, Mag 9,94 , LS 21,49



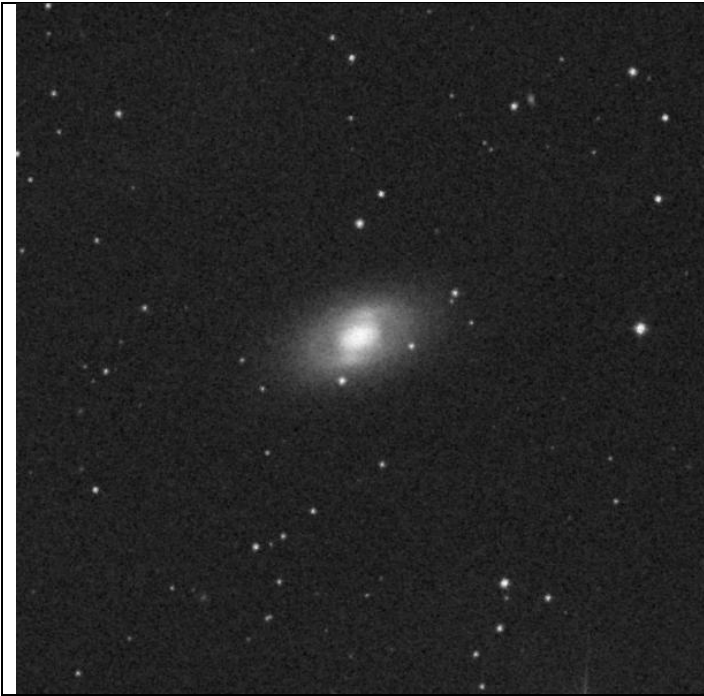
Bella e luminosa a 235x. A 309x e 440x mostra il meglio di se. Ovalizzata NNE-SSW, alone ampio di circa 4', bulge evidente, anch'esso ovalizzato. Si osserva un punto luce/piccola condensazione nella parte più a Nord del bulge. L'alone sembra essere più esteso a NE che a SW, con una differenza di luminosità superficiale evidente.

## Ngc 2985, Ursa Major, Gx, Mag 10,37



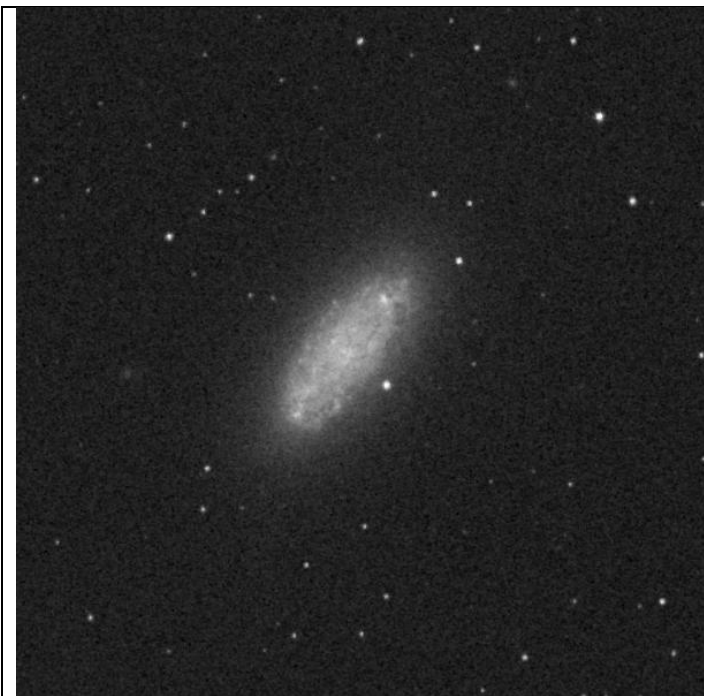
Bella e luminosa. Subito visibile a 235x. Circa 2-3' di diametro, tondeggiate, alone soffuso e con vari gradienti verso il centro. Bulge rotondo e contrastato. Nucleo stellare. Un piccolo gioellino.

**Ngc 2787, Ursa Major, Gx, Mag 10,53 , LS 20,79**



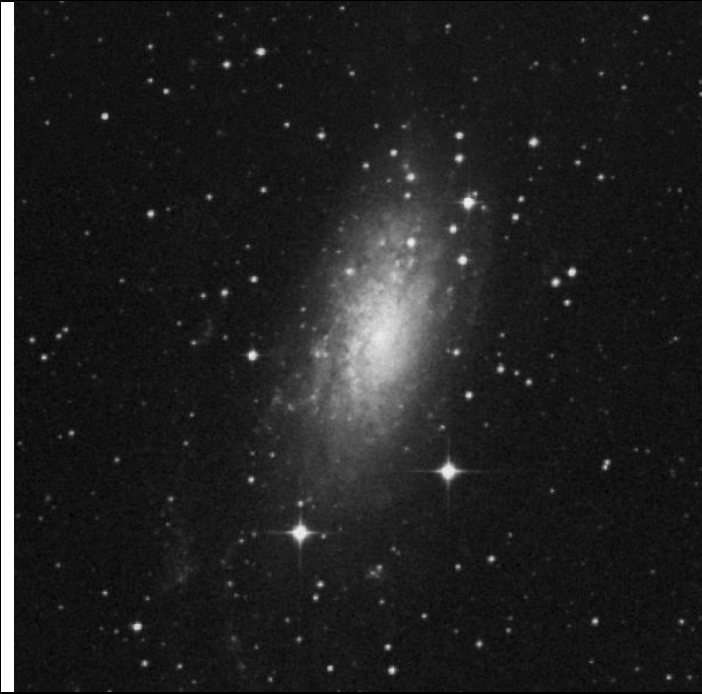
Molto bella. Elongata NNW-SSE, circa 5' o poco meno. Bulge robusto, piccola ma chiara condensazione stellare al bordo Nord del bulge. Il bulge e l'alone hanno una ampia differenza di luminosità superficiale, ed entrambi sono molto contrastati. Si osserva anche una stella al bordo Sud dell'alone. Sul bordo ad Ovest sembra di intravedere dei chiaro-scuro, forse per la presenza di una banda di polveri.

**Ngc 2976, Ursa Major, Gx, Mag 10,08 , LS 21,89**



Aspetto spettrale, bella a 235x, elongata NW-SE, circa 5x2'. Stella a SW. La LS è abbastanza ben distribuita su tutto l'alone, nel senso che non vi sono gradienti dal bordo al centro, tuttavia l'alone si presenta con un aspetto quasi granuloso. Guardando l'immagine DSS, in effetti, presenta innumerevoli chiazze scure per via della presenza di polveri nel disco galattico. Molto bella.

**Ngc 3621, Hydra, Gx, Mag 9,42 , LS 21,49**



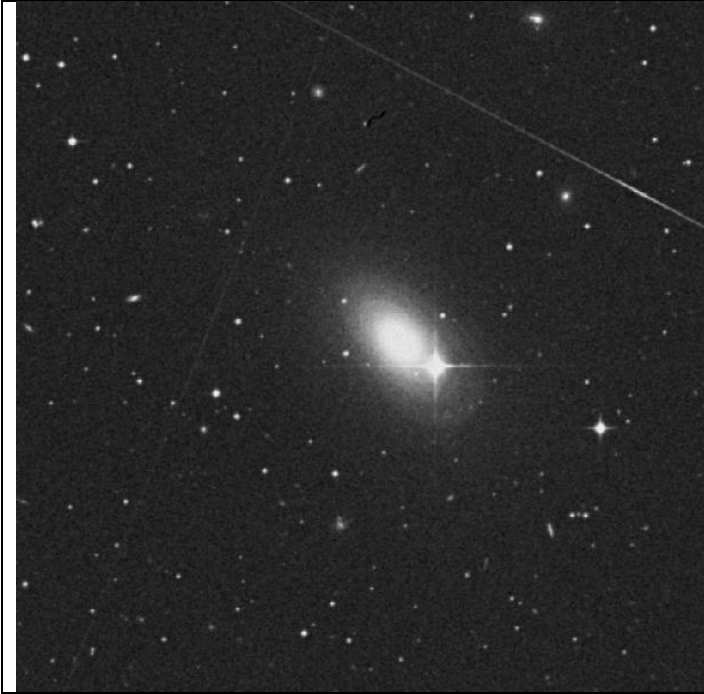
Spettrale a 235x, molto bassa sull'orizzonte.  
Elongata NW-SE, circa 7x2'. LS omogenea, si sfuma velocemente ai due estremi dell'alone galattico, a Nord e a Sud. Nel mezzo dell'alone sembra esserci una barretta di luce, orientata anch'essa NW-SE.

**Ngc 2775, Cancer, Gx, Mag 10,18 , LS 20,99**



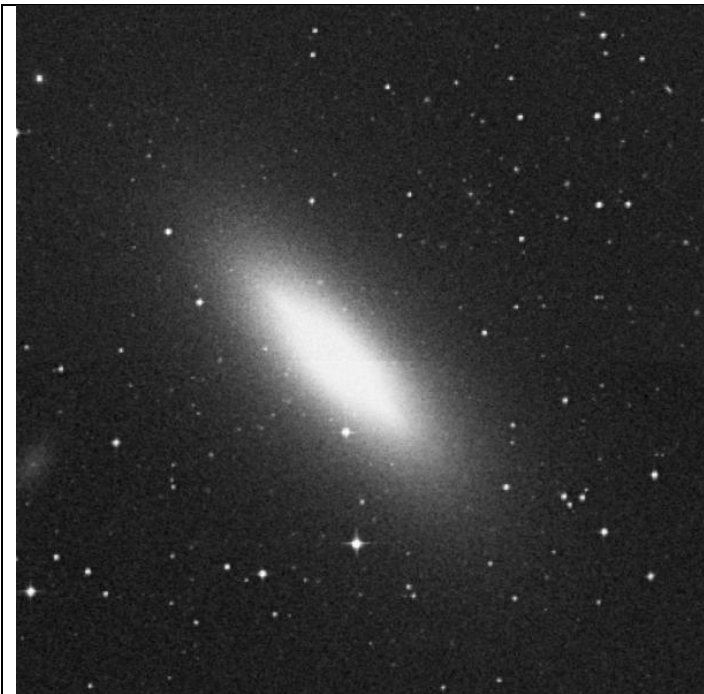
Carina, luminosa. Si presenta con una leggera ovalizzazione NNW-SSE, circa 4-5'. Alone contrastato, bulge corposo e rotondo, nucleo stellare. Si osserva non molto stabilmente una banda scura tra bulge e bordo dell'alone a Est.

**Ngc 2974, Sextans, Gx, Mag 10,87 , LS 20,79**



A NE di una stella luminosa. Elongata NE-SW, circa 2'. A 235x si presenta piccola ma luminosa. Alone fumoso, bulge rotondo e netto, con nucleo stellare. Ingrandendo non emergono ulteriori dettagli.

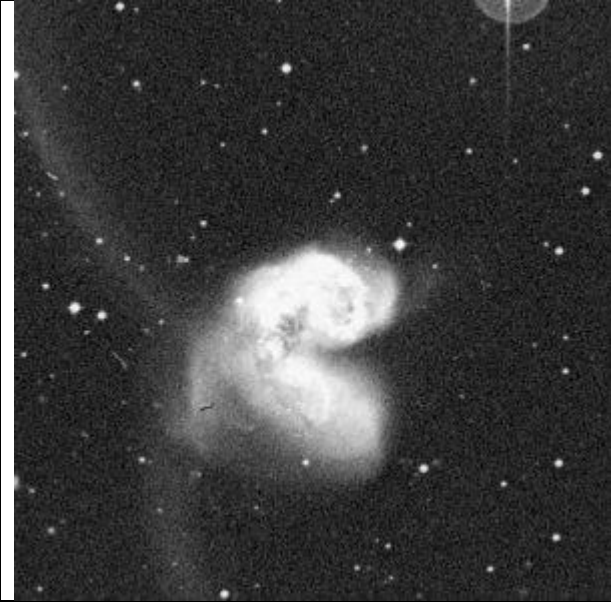
**Ngc 3115, Sextans, Gx, Mag 9,09 , LS 19,69**



Bellissima. Elongata SW-NE , circa 5x2'. A 235x si mostra sottile, con bordi fumosi. Forti gradienti fino al centro, che presenta un nucleo stellare. Il bordo a SE sembra più netto, come se ci fosse una banda, mentre il bordo opposto si sfuma più gradatamente.

## Ngc 4038, Mag 10,1 & Ngc 4039, Mag 10,3 , Corvus, galassie interagenti

### Antennae Galaxies



Facilmente visibile a 235x. Le due galassie si mostrano come due aloni contrastati, che si fondono nelle rispettive porzioni orientali degli aloni galattici. La 4039 si presenta più appiattita della compagna, sfumata e con LS più omogenea, orientata SW-NE. LA 4038 è più tozza e più luminosa, ovalizzata WE. Presenta molti chiaro-scuri interni, molto stabili in distolta, numerose increspature di luce.

Lo spazio tra le due galassie sembra privo di "nebulosità". Spettacolare.